

目录

- 1 随机过程的联合平稳
 - 希尔伯特变换的性质
 - 举例
- 2 高频窄带信号的复指数形式
 - 高频窄带信号通过窄带系统
 - 随机过程的解析形式及其性质
- 3 窄带随机过程
 - 窄带随机过程的“垂直”分解
 - 窄带随机过程的统计分析
- 4 窄带高斯过程包络与相位的分布
 - 包络和相位各自的二维概率分布
 - 随相余弦信号与窄带高斯噪声之和的包络及相位的概率分布
- 5 窄带高斯过程包络平方的概率分布
 - 卡方分布和非中心卡方分布
 - 卡方分布的性质
- 6 窄带高斯过程包络平方的概率分布

第二次教案下载二维码

Github 下载



第 2 章 随机信号的时域分析

智慧树课堂二维码和项目地址



图 1:《随机信号分析》课程号:k213654



Github 项目地址

下载地址:

<https://github.com/zggl/random-signal-processing2020-autumn>

目录

- 1 随机过程的联合平稳
 - 希尔伯特变换的性质
 - 举例
- 2 高频窄带信号的复指数形式
 - 高频窄带信号通过窄带系统
 - 随机过程的解析形式及其性质
- 3 窄带随机过程
 - 窄带随机过程的“垂直”分解
 - 窄带随机过程的统计分析
- 4 窄带高斯过程包络与相位的分布
 - 包络和相位各自的二维概率分布
 - 随相余弦信号与窄带高斯噪声之和的包络及相位的概率分布
- 5 窄带高斯过程包络平方的概率分布
 - 卡方分布和非中心卡方分布
 - 卡方分布的性质
- 6 窄带高斯过程包络平方的概率分布



若将 $S(\omega)$ 傅里叶逆变换分解成正负两频域部分积分之和

$$\begin{aligned}
 s(t) &= \frac{1}{2\pi} \int_{-\infty}^{\infty} S(\omega) e^{j\omega t} d\omega \\
 &= \frac{1}{2\pi} \int_0^{\infty} S(\omega) e^{j\omega t} d\omega + \frac{1}{2\pi} \int_{-\infty}^0 S(\omega) e^{j\omega t} d\omega \\
 &\stackrel{\omega' = -\omega}{=} \left[\frac{1}{2\pi} \int_0^{\infty} S(\omega) e^{j\omega t} d\omega \right] + \left[\frac{1}{2\pi} \int_0^{\infty} S(-\omega') e^{-j\omega' t} d\omega' \right] \\
 &= \left[\frac{1}{2\pi} \int_0^{\infty} S(\omega) e^{j\omega t} d\omega \right] + \left[\frac{1}{2\pi} \int_0^{\infty} S(\omega') e^{j\omega' t} d\omega' \right]^* \\
 &= \operatorname{Re} \left[\frac{1}{2\pi} \int_0^{\infty} 2S(\omega) e^{j\omega t} d\omega \right] \\
 &= \operatorname{Re}[\tilde{s}(t)].
 \end{aligned}$$

(6)

单边频谱

$$\tilde{S}(\omega) = 2S(\omega)U(\omega) = \begin{cases} 2S(\omega), & \omega > 0 \\ 0, & \omega < 0 \end{cases}, U(\omega) = \begin{cases} 1, & \omega > 0 \\ 0, & \omega < 0 \end{cases}$$

实信号 $s(t)$ 的解析形式

实信号 $s(t)$ 可用一个仅含其正频率成分的解析信号的实部来表示, 即 $s(t) = \text{Re}[\tilde{s}(t)]$ 。

2. 解析信号的表示方法

单边谱信号在时域是个复信号, 实信号 $s(t)$ 的解析信号可以表示为

$$\tilde{s}(t) = \text{Re}[\tilde{s}(t)] + j \text{Im}[\tilde{s}(t)] \quad (9)$$

由 $\text{Re}[\tilde{s}(t)] = s(t)$, 再令单边信号的虚部记为 $\hat{s}(t)$

$$\text{Im}[\tilde{s}(t)] = \hat{s}(t). \quad (10)$$

即解析信号 $s(t)$ 的虚部用符号 $\hat{s}(t)$ 表示, 则

$$\tilde{s}(t) = s(t) + j\hat{s}(t). \quad (11)$$

上式是解析信号 $s(t)$ 的一般表达式。

虚部 $\hat{s}(t)$ 的求取

式中的虚部 $\hat{s}(t)$ 又如何求得呢？

频域表达

从频域关系出发, 解析信号 $\tilde{s}(t)$ 的频谱 $\tilde{S}(\omega)$ 满足 $\tilde{S}(\omega) = 2S(\omega)U(\omega)$ 。

已知的傅里叶逆变换

$$U(\omega) \xrightleftharpoons[F]{F^{-1}} \frac{1}{2} \left[\delta(t) - \frac{1}{j\pi t} \right]. \quad (12)$$

(12)中复函数的计算基础

$$\oint_{|z|<0.2} \frac{1}{j\pi z} e^{-j\omega z} dz = \frac{1}{j\pi} \oint_{|z|<0.2} \frac{1}{z} e^{-j\omega z} dz = \frac{2j\pi}{j\pi} = 2. \quad (13)$$

解析信号的时域表达

$$\tilde{s}(t) = s(t) * \left[\delta(t) - \frac{1}{j\pi t} \right] = s(t) + j \left[s(t) * \frac{1}{\pi t} \right]. \quad (14)$$

实信号 $s(t)$ 的希尔伯特 (Hilbert) 变换

实信号 $s(t)$ 单边谱的虚部

$$\begin{aligned} \hat{s}(t) &= s(t) * \frac{1}{\pi t} = \frac{1}{\pi} \int_{-\infty}^{\infty} \frac{s(\tau)}{t - \tau} d\tau \\ &= \frac{1}{\pi} \int_{-\infty}^{\infty} \frac{s(t - \tau)}{\tau} d\tau. \end{aligned} \quad (15)$$

上式称为实信号 $s(t)$ 的希尔伯特 (Hilbert) 变换, 记作 $\hat{s}(t) = H[s(t)]$ 。

解析信号的作用

解析信号是最常用的复信号之一, 它在分析窄带随机信号中起着重要作用.

希尔伯特变换的作用

希尔伯特变换是应用解析信号, 分析系统时必不可少的数学工具.

复信号的解析形式表示

用解析形式表示复信号的方法称为希尔伯特表示法.

希尔伯特变换的几个重要性质

1. 希尔伯特变换相当于一个正交滤波器

希尔伯特变换是 $s(t)$ 和 $1/\pi t$ 的卷积, 根据线性系统的输出特征, 可以将 $\hat{s}(t)$ 看成是 $s(t)$ 通过一个具有冲激响应为 $1/\pi t$ 的线性滤波器, 如图 2 所示。

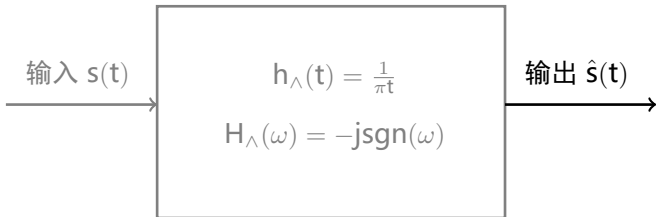
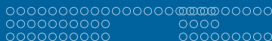


图 2: 希尔伯特变换



$j\frac{1}{\pi t}$ 和 $\text{sgn}(\omega)$ 的傅里叶变换关系

$$j\frac{1}{\pi t} \xrightleftharpoons[F^{-1}]{F} \text{sgn}(\omega), \quad (18)$$

式中 $\text{sgn}(a)$ 为符号函数。

满足的条件

$$\text{sgn}(\omega) = \begin{cases} 1, & \omega > 0 \\ -1, & \omega < 0 \end{cases} \quad (19)$$

$$\frac{1}{\pi t} \xrightleftharpoons[F^{-1}]{F} -j\text{sgn}(\omega). \quad (20)$$

滤波器输出信号 $\hat{s}(t)$ 相应的频谱

$$\begin{aligned}
 S(\omega) &= H_{\Lambda}(\omega)S(\omega) = -j\operatorname{sgn}(\omega)S(\omega) \\
 &= \begin{cases} -jS(\omega), & \omega > 0 \\ jS(\omega), & \omega < 0 \end{cases} .
 \end{aligned} \tag{24}$$

由式 (24) 可见, 通过此滤波器的信号, 其所有频率分量的幅度响应为常值 1.

希尔伯特变换是一个正交滤波器

而在相位上, 所有正频率分量移相 $-\pi/2$, 所有负频率分量移相 $+\pi/2$ 。因此说, 希尔伯特变换是一种正交变换, 它的作用相当于一个正交滤波器, 如图 26 中所示的一次变换。

2. 两次希尔伯特变换相当于一个倒相器

若对 $s(t)$ 进行两次希尔伯特变换, 则相当于信号 $s(t)$ 通过两个级联的 $h_A(t)$ 网络。即

$$\hat{\hat{s}}(t) = H\{H[s(t)]\} = H[\hat{s}(t)] = \hat{s}(t) * \frac{1}{\pi t} = s(t) * \frac{1}{\pi t} * \frac{1}{\pi t} \quad (25)$$

$$\hat{\hat{S}}(\omega) = \hat{S}(\omega)[-j\text{sgn}(\omega)] = S(\omega)[-j\text{sgn}(\omega)][-j\text{sgn}(\omega)] = -S(\omega) \quad (26)$$

$\hat{\hat{s}}(t)$ 和 $s(t)$ 的时域关系

$$\hat{\hat{s}}(t) = H\{H[s(t)]\} = H[\hat{s}(t)] = -s(t) \quad (27)$$

如图 26 所示, 两次希尔伯特变换将信号 $s(t)$ 翻转了 180° 。

3. 希尔伯特逆变换等于负的希尔伯特正变换

定义希尔伯特逆变换为

$$s(t) = H^{-1}[\hat{s}(t)]. \quad (28)$$

由式 (27) 可得

$$H[\hat{s}(t)] = -s(t) \Rightarrow s(t) = -H[\hat{s}(t)]. \quad (29)$$

对比式 (28) 和式 (29) 可知

$$s(t) = -H[\hat{s}(t)]. \quad (30)$$

$$\mathbf{H}^{-1}[\cdot] = -\mathbf{H}[\cdot]. \quad (31)$$

$$\begin{aligned} \mathbf{s}(\mathbf{t}) &= \mathbf{H}^{-1}[\hat{\mathbf{s}}(\mathbf{t})] = -\mathbf{H}[\hat{\mathbf{s}}(\mathbf{t})] \\ &= -\frac{1}{\pi} \int_{-\infty}^{\infty} \frac{\hat{\mathbf{s}}(\mathbf{t} - \tau)}{\tau} d\mathbf{x} \\ &= \frac{1}{\pi} \int_{-\infty}^{\infty} \frac{\hat{\mathbf{s}}(\mathbf{t} + \tau)}{\tau} d\tau. \end{aligned} \quad (32)$$

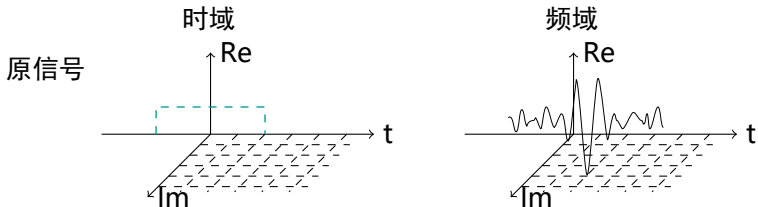
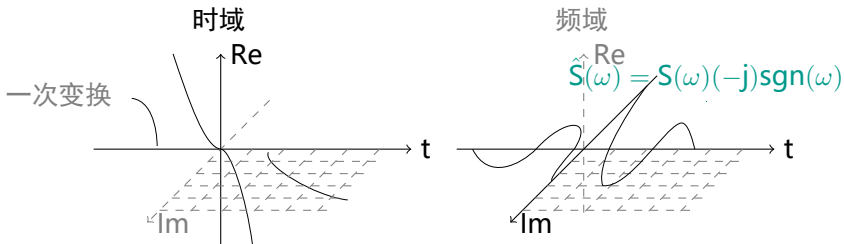
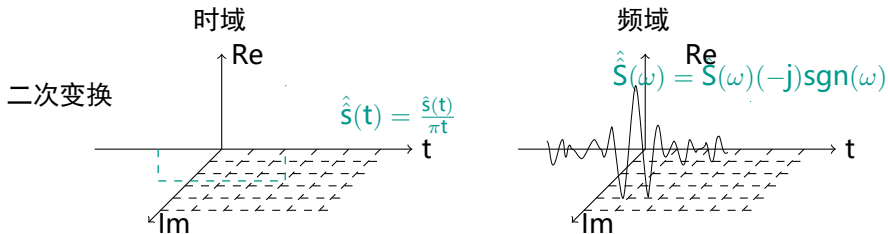


图 3: 希尔伯特变换 (子图 1-1, 1-2)



希尔伯特变换 (子图 2-1,2-2)



希尔伯特变换 (子图 3-1,3-2)

求 $\cos \Omega t, \sin \Omega t$ 的希尔伯特变换。

解:

①

$$\begin{aligned} H[\cos \Omega t] &= \cos \Omega t * \frac{1}{\pi t} \\ &= \frac{1}{\pi} \int_{-\infty}^{\infty} \frac{\cos[\Omega(t - \tau)]}{\tau} d\tau. \end{aligned} \quad (33)$$

$$\begin{aligned}
 H[\cos \Omega t] &= \cos \Omega t * \frac{1}{\pi t} = \frac{1}{\pi} \int_{-\infty}^{\infty} \frac{\cos[\omega(t - \tau)]}{\tau} d\tau \\
 &= \frac{1}{\pi} \int_{-\infty}^{\infty} \left[\frac{1}{\tau} \cos \Omega \cos \Omega \tau + \frac{1}{\tau} \sin \Omega t \sin \Omega \tau \right] d\tau \\
 &= \frac{1}{\pi} \left[\cos \Omega t \int_{-\infty}^{\infty} \frac{\cos \Omega \tau}{\tau} d\tau \right. \\
 &\quad \left. + \sin \Omega t \int_{-\infty}^{\infty} \frac{\sin \Omega \tau}{\tau} d\tau \right].
 \end{aligned}
 \tag{34}$$

$$H[\cos \Omega t] = \text{sgn}(\Omega) \sin \Omega t = \begin{cases} \sin \Omega t, & \Omega > 0 \\ -\sin \Omega t, & \Omega < 0 \end{cases}. \quad (37)$$



举例

$$H[\cos \Omega t] = \text{sgn}(\Omega) \sin \Omega t = \begin{cases} \sin \Omega t, & \Omega > 0 \\ -\sin \Omega t, & \Omega < 0 \end{cases}. \quad (38)$$

② 对上式两端再求一次 Hilbert 变换

$$H^2[\cos \Omega t] = H\{H[\cos \Omega t]\} = H[\text{sgn}(\Omega) \sin \Omega t] = \text{sgn}(\Omega)H[\sin \Omega t]. \quad (39)$$

利用性质 2 可知, 两次希尔伯特变换相当于倒相器, 则

$$H\{H[\cos \Omega t]\} = -\cos \Omega t. \quad (40)$$



由上述两式综合可得

$$\text{sgn}(\Omega)H[\sin \Omega t] = H\{H[\cos \Omega t]\} = -\cos \Omega t. \quad (41)$$

结论

$$\begin{aligned} H[\sin \Omega t] &= -\operatorname{sgn}(\Omega) \cos \Omega t \\ &= \begin{cases} -\cos \Omega t, & \Omega > 0 \\ \cos \Omega t, & \Omega < 0 \end{cases} \end{aligned} \quad (42)$$

114

随机信号分析

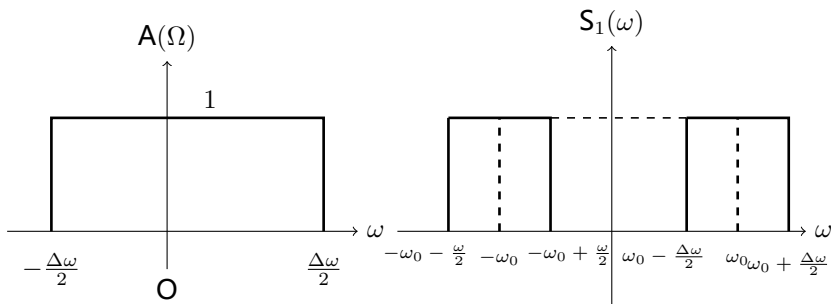


图 4: 例 6. 2 图

随机信号分析

利用傅里叶变换的频移性质

$$\begin{aligned}\hat{s}_1(t) &= H[a(t) \cos \omega_0 t] = -\frac{j}{2}a(t)e^{j\omega_0 t} + \frac{j}{2}a(t)e^{-j\omega_0 t} \\ &= \frac{j}{2}(e^{-j\omega_0 t} - e^{j\omega_0 t})a(t) = a(t) \sin \omega_0 t.\end{aligned}\quad (49)$$

③ 利用 Hilbert 性质二次变换的性质

可得

$$\begin{aligned}\hat{s}_2(t) &= H[a(t) \sin \omega_0 t] = H\{H[a(t) \cos \omega_0 t]\} \\ &= -a(t) \cos \omega_0 t.\end{aligned}\quad (50)$$

目录

- 1 随机过程的联合平稳
 - 希尔伯特变换的性质
 - 举例
- 2 高频窄带信号的复指数形式
 - 高频窄带信号通过窄带系统
 - 随机过程的解析形式及其性质
- 3 窄带随机过程
 - 窄带随机过程的“垂直”分解
 - 窄带随机过程的统计分析
- 4 窄带高斯过程包络与相位的分布
 - 包络和相位各自的二维概率分布
 - 随相余弦信号与窄带高斯噪声之和的包络及相位的概率分布
- 5 窄带高斯过程包络平方的概率分布
 - 卡方分布和非中心卡方分布
 - 卡方分布的性质
- 6 窄带高斯过程包络平方的概率分布

随机信号分析

这类信号的典型频谱如图 5(a) 所示。如果在示波器上观察这类窄带信号, 它的波形或多或少地有点像正弦波, 如图 5(b) 所示。但它的振幅、相位不是常数, 而是随 t 变化的函数这类窄带信号 $s(t)$ 可以表示为

$$s(t) = a(t) \cos [\omega_0 t + \phi(t)], \quad (51)$$

式中 $a(t)$ 是信号 $s(t)$ 的振幅调制, 称为包络函数。 $\phi(t)$ 是信号 $s(t)$ 的相位调制, 称为相位函数。

相对载波 $\cos \omega t$ 来讲, $a(t)$ 与 $\phi(t)$ 都是慢变化的时间函数。

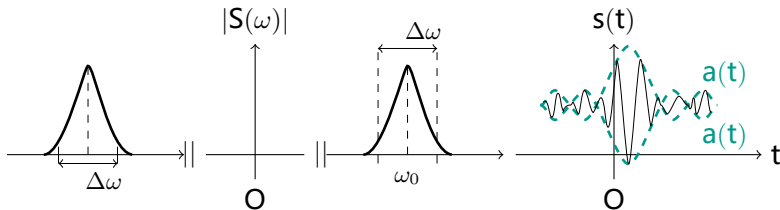


图 5: 高频窄带信号

将上式展开后的结果

$$\begin{aligned}
 s(t) &= a(t) \cos [\omega_0 t + \varphi(t)] \\
 &= a(t) \cos \varphi(t) \cos \omega_0 t - a(t) \sin \varphi(t) \sin \omega_0 t \quad (52) \\
 &= m_c(t) \cos \omega_0 t - m_s(t) \sin \omega_0 t,
 \end{aligned}$$

其中的垂直分量 $m_c(t)$ 和 $m_s(t)$

$$\begin{cases} m_c(t) = a(t) \cos \varphi(t) \\ m_s(t) = a(t) \sin \varphi(t) \end{cases} \quad (53)$$

可见 $m_c(t)$, $m_s(t)$ 相对 $\cos \omega_0 t$ 来讲都是低频信号, 且 $m_c(t)$ 与 $m_s(t)$ 在几何上彼此正交。

通常, 将 $m(t)$ 称为信号 $s(t)$ 的复包络, 而将 $e^{j\omega_0 t}$ 称为复载频。
 $a(t)$ 称为包络, 解析信号 $\tilde{s}(t)$ 称为预包络。

复包络展开

$$m(t) = a(t) \cos \varphi(t) + ja(t) \sin \varphi(t) = m_c(t) + jm_s(t). \quad (59)$$

可见, 包络 $a(t)$, 复包络 $m(t)$ 相对 $\cos \omega_0 t$ 来讲, 都是低频限带信号。

随机信号分析

设一实信号 $s(t) = a(t) \cos \omega_0 t$, 其复包络 $m(t) = a(t)$, 复包络的频谱 $M(\omega)$ 不满足低频限带条件, 如图 6 所示

$$m(t) \xrightleftharpoons[F^{-1}]{F} M(\omega), \quad |\omega| < \Delta\omega \not\ll \omega_0. \quad (60)$$

实信号 $s(t)$ 频谱

$$S(\omega) = \frac{1}{2} [M(\omega + \omega_0) + M(\omega - \omega_0)]. \quad (61)$$

① $s(t)$ 的解析信号形式

$$\bar{s}(t) = s(t) + j\hat{s}(t). \quad (62)$$

解析信号的频谱

$$\tilde{S}(\omega) = 2S(\omega)U(\omega) = [M(\omega + \omega_0) + M(\omega - \omega_0)] U(\omega). \quad (63)$$

② $s(t)$ 的复指数表示

$$\bar{s}_{\text{复}}(t) = m(t)e^{j\omega_0 t}. \quad (64)$$

复信号频谱

$$\tilde{S}_{\text{复}}(t)(\omega) = M(\omega - \omega_0). \quad (65)$$

$$\begin{aligned}\varepsilon(\omega) &= \mathcal{S}_{\text{复}}(\omega) - \mathbf{S}(\omega) \\ &= \mathbf{M}(\omega - \omega_0) [1 - \mathbf{U}(\omega)] - \mathbf{M}(\omega + \omega_0) \mathbf{U}(\omega).\end{aligned}\quad (66)$$

这个误差在时域的表达式为

$$\epsilon(x) = \frac{1}{\pi} \operatorname{Im} \left[\int_{-\infty}^{\infty} M(\omega) e^{i(\omega + \omega_0)t} d\omega \right]. \quad (67)$$

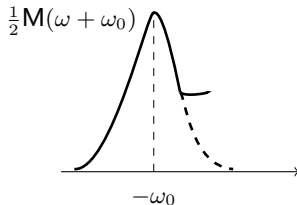
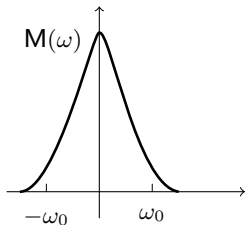
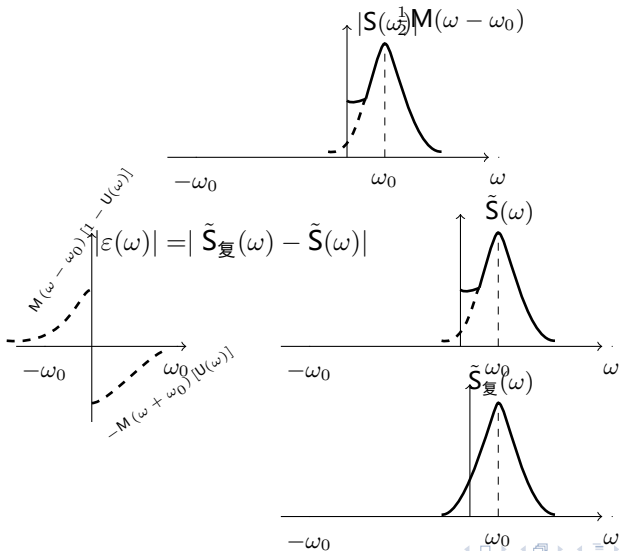


图 6: 误差分析



情形 1

情形 2

随机信号分析

若已知高频窄带信号复包络的频谱 $M(\omega)$, 有

$$\tilde{s}_{\text{复}}(t) = m(t)e^{j\omega_0 t} \xLeftrightarrow[F]{F^{-1}} \tilde{S}_{\text{复}}(\omega) = M(\omega - \omega_0), \quad (69)$$

则

$$\tilde{s}_{\text{复}}^*(t) \xLeftrightarrow[F]{F^{-1}} \tilde{S}_{\text{复}}^*(-\omega) = M^*(-\omega - \omega_0) \quad (70)$$

由于可以用复指数形式代替其解析形式 $\tilde{s}(t) = \tilde{s}_{\text{复}}(t)$, 则

$$s(t) = \text{Re}[\tilde{s}(t)] = \text{Re}[\tilde{s}_{\text{复}}(t)] = \frac{1}{2} [\tilde{s}_{\text{复}}(t) + \tilde{s}_{\text{复}}^*(t)] \quad (71)$$



高频窄带系统的冲激响应和传递函数为

$$\begin{aligned} h(t) &= \text{Re}[\tilde{h}(t)] = \text{Re} [h_m(t)e^{j\omega_0 t}] \\ H(\omega) &= \frac{1}{2} [H_m(\omega - \omega_0) + H_m^*(-\omega - \omega_0)], \end{aligned} \quad (75)$$

其中 $h_m(t)$, $H_m(\omega)$ 分别为窄带系统的复包络及其频谱。

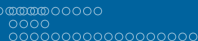
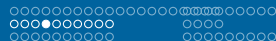
$s_0(t)$ 下系统的输出

$$\begin{aligned} s_0(t) &= s_i(t) * h(t) \\ S_0(\omega) &= S_i(\omega)H(\omega). \end{aligned} \quad (76)$$



将输入窄带信号和窄带系统的频谱 $S_0(\omega)$ 代入上式 (76), 得

$$\begin{aligned}
 S_0(\omega) &= \frac{1}{4} [\mathbf{M}_i(\omega - \omega_0) + \mathbf{M}_i^*(-\omega - \omega_0)] \\
 &\quad [\mathbf{H}_m(\omega - \omega_0) + \mathbf{H}_m^*(-\omega - \omega_0)] \\
 &= \frac{1}{4} [\mathbf{M}_i(\omega - \omega_0) \mathbf{H}_m(\omega - \omega_0) + \mathbf{M}_i(\omega - \omega_0) \mathbf{H}_m^*(-\omega - \omega_0) \\
 &\quad + \mathbf{M}_i^*(-\omega - \omega_0) \mathbf{H}_m(\omega - \omega_0) \\
 &\quad + \mathbf{M}_i^*(-\omega - \omega_0) \mathbf{H}_m^*(-\omega - \omega_0)].
 \end{aligned}
 \tag{77}$$



由于 $s(t)$ 的复包络 $m_i(t)$ 是低频限带信号, 其频谱 $M_i(\omega)$ 如图 10和11 所示

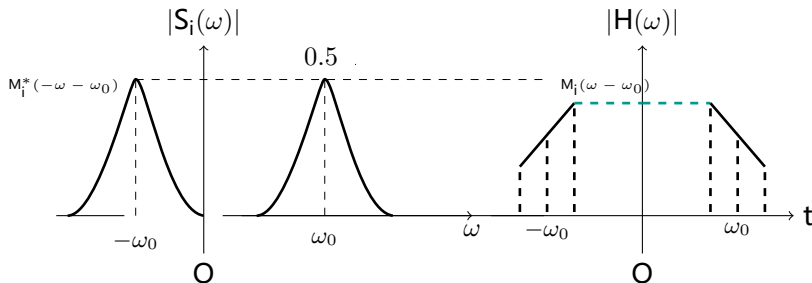


图 10: 高频窄带信号通过窄带系统

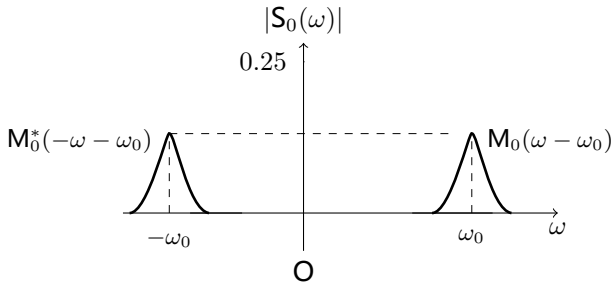
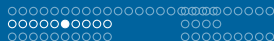


图 11: 高频窄带信号通过窄带系统



$$\begin{cases} M_i^*(-\omega - \omega_0) H_m(\omega - \omega_0) = 0 \\ M_i(\omega - \omega_0) H_m^*(-\omega - \omega_0) = 0 \end{cases} \quad (78)$$

由图可知, 式 (78) 显然成立。

$S_0(\omega)$ 的结果

$$\begin{aligned} S_0(\omega) = \frac{1}{4} & \left[M_i(\omega - \omega_0) H_m(\omega - \omega_0) \right. \\ & \left. + M_i^*(-\omega - \omega_0) H_m^*(-\omega - \omega_0) \right]. \end{aligned} \quad (79)$$

结果表明, 一个高频窄带信号通过高频窄带系统, 可以作如图 12 所示的等效, 即可以等效为信号的复包络通过一个冲激响应为 $h_m(t)/2$ 的低通系统。



即输出的复包络 $m_0(t)$ 仅由输入信号的复包络 $m_i(t)$ 与系统冲激响应的复包络 $h_m(t)/2$ 卷积而成。

这种处理方法使我们对高频窄带信号通过高频窄带系统这类问题的分析与运算大为简化。

避免了高频信号与高频冲激响应卷积时的麻烦的高频项处理。

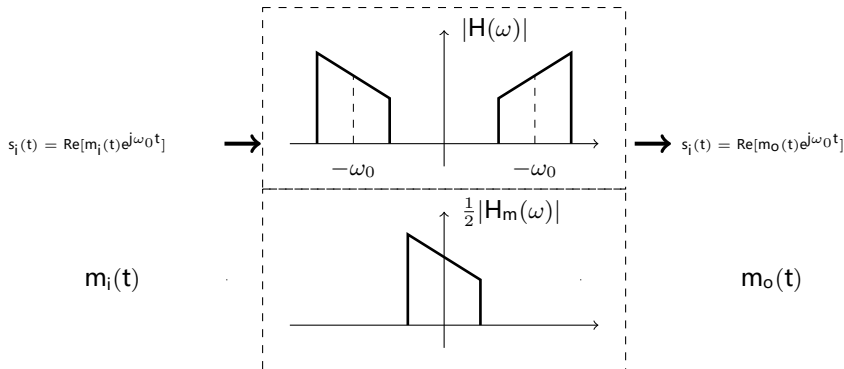


图 12: 运算的简化

实随机过程的解析形式 (或解析过程) 为

$$\hat{X}(t) = X(t) + j\hat{X}(t), \quad (85)$$

称为 $X(t)$ 的希尔伯特变换, 其中

$$\hat{\mathbf{X}}(\mathbf{t}) = \mathbf{X}(\mathbf{t}) * \frac{1}{\pi \mathbf{t}}. \quad (86)$$

由于希尔伯特变换的线性性质, $1/\pi t$ 可以看成一线性系统的冲激响应。

因此, $Y(t)$ 可以看成是输入 $X(t)$ 下线性系统 $h_{\wedge}(t)$ 的输出, 即

$$Y(t) = X(t) * \frac{1}{\pi t} = \hat{X}(t). \quad (87)$$

如图 13 所示。正是利用这一等效, 使得在下一节中应用解析过程来分析窄带随机后号变得是十分方便。

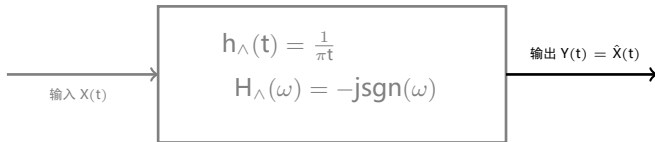


图 13: 解析过程

希尔伯特变换

希尔伯特变换是一种线性变换, 那么随机信号通过线性系统的结论在此解析过程的性质可应用。

若 $X(t)$ 为宽平稳 (实) 过程, 则 $\hat{X}(t)$ 也是宽平 (实) 过程且 $X(t)$ 与 $\hat{X}(t)$ 联合宽平稳。

2° 实随机过程

证: 从图 13 不难看出

$$G_X(\omega) = G_X(\omega) |H_{\Lambda}(\omega)|^2 \quad (88)$$

$$|H_{\Lambda}(\omega)| = |-j\text{sgn}(\omega)| = 1. \quad (89)$$

因此

$$G_{\hat{X}}(\omega) = G_X(\omega) \Rightarrow R_X(\tau) = R_X(\tau). \quad (90)$$

$X(t)$ 与 $\hat{X}(t)$ 的互相关函数等于 $X(t)$ 自相关函数的希尔伯特变换。

据线性系统输入输出随机信号之间互相关函数的性质, 有

$$\begin{aligned}
 R_{\hat{X}\hat{X}}(\tau) &= E[X(t)\hat{X}(t+\tau)] = R_X(\tau) * h_{\Lambda}(\tau) = R_X(\tau) * \frac{1}{\pi\tau} \\
 &= \bar{R}_X(\tau). \\
 R_{\hat{X}\hat{X}}(\tau) &= E[X(t)X(t+\tau)] = R_X(\tau) * h_{\Lambda}(-\tau) \\
 &= -R_X(\tau) * \frac{1}{\pi\tau} = -\hat{R}_X(\tau).
 \end{aligned} \tag{91}$$

且有

$$R_{\hat{X}\hat{X}}(\tau) = -R_{\hat{X}\hat{X}}(\tau). \tag{92}$$

由此可得 $X(t)$ 与 $\hat{X}(t)$ 的互功率谱密度为

$$\begin{aligned}
 G_{X\hat{X}}(\omega) &= F[R_{X\hat{X}}(\tau)] = F[\hat{R}_X(\tau)] \\
 &= -j\text{sgn}(\omega)G_X(\omega) = \begin{cases} -jG_X(\omega), & \omega > 0 \\ jG_X(\omega), & \omega < 0 \end{cases} \quad (93)
 \end{aligned}$$

4° $X(t)$ 与 $\hat{X}(t)$ 的互相关函数是 τ 的奇函数

$$R_{X\hat{X}}(-\tau) = R_X(-\tau) * h_{\wedge}(-\tau). \quad (94)$$

且 $R_X(\tau)$ 是偶函数, 则

$$\begin{aligned}
 R_{X\hat{X}}(-\tau) &= R_X(-\tau) * \left(-\frac{1}{\pi\tau}\right) \\
 &= R_X(\tau) * \left(-\frac{1}{\pi\tau}\right) = -\hat{R}_X(\tau) = -R_{X\hat{X}}(\tau). \quad (95)
 \end{aligned}$$

$$\mathbf{R}_{\hat{\mathbf{X}}\hat{\mathbf{X}}}(-\tau) = -\mathbf{R}_{\hat{\mathbf{X}}\hat{\mathbf{X}}}(\tau). \quad (96)$$

证: 因为 $R_{\hat{X}\hat{X}}(\tau), R_{\hat{X}\hat{X}}(\tau)$ 是 τ 的奇函数, 所以当 $\tau = 0$ 时, 有

$$\begin{cases} \mathbf{R}_{\hat{\mathbf{x}}\hat{\mathbf{x}}}(0) = 0 \\ \mathbf{R}_{\hat{\mathbf{x}}\hat{\mathbf{y}}}(0) = 0 \end{cases} \quad (97)$$

$$R_{\hat{X}\hat{X}}(0) = E[\hat{X}(t)X(t)] = 0. \quad (98)$$

6° 解析过程的功率谱密度只存在于正频域

按照复随机过程自相关函数的定义, 解析过程 $\tilde{X}(t)$ 的自相关函数为

$$\begin{aligned}
 R_X(\tau) &= E[\bar{X}(t) \cdot \tilde{X}(t + \tau)] \\
 &= E\{[X(t) - j\hat{X}(t)][X(t + \tau) + j\hat{X}(t + \tau)]\} \quad (99) \\
 &= R_X(\tau) + R_X(\tau) + j[R_{X\hat{X}}(\tau) - R_{\hat{X}X}(\tau)].
 \end{aligned}$$

再应用性质 2° 和 3° 可得

$$R_X(\tau) = 2[R_X(\tau) + j\hat{R}_X(\tau)] = 2\tilde{R}_X(\tau). \quad (100)$$

解析过程 $\tilde{X}(t)$ 的功率谱密度

对式 (100) 两边求傅里叶变换, 可得解析过程 $\tilde{X}(t)$ 的功率谱密度为

$$\begin{aligned}
 G_{\tilde{X}}(\omega) &= 2 \left\{ G_X(\omega) + jF \left[\hat{R}_X(\tau) \right] \right\} \\
 &= 2 \left\{ G_X(\omega) + j \left[-j \operatorname{sgn}(\omega) G_X(\omega) \right] \right\} \\
 &= 2 \left[G_X(\omega) + \operatorname{sgn}(\omega) G_X(\omega) \right] \\
 &= \begin{cases} 4G_X(\omega), & \omega > 0 \\ 0, & \omega < 0 \end{cases}
 \end{aligned} \tag{101}$$

上式表明, 解析过程的功率谱密度只存在于正频域, 即它是单边带的功率谱密度其强度等于原实过程功率谱密度强度的 4 倍。 $G_X(\omega) \leftrightarrow G_X(\omega)$ 的关系如图 14 所示。

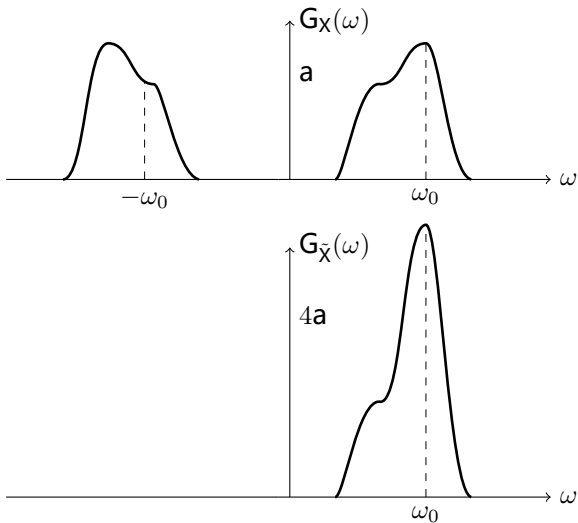


图 14: 解析过程的功率谱

目录

- 1 随机过程的联合平稳
 - 希尔伯特变换的性质
 - 举例
- 2 高频窄带信号的复指数形式
 - 高频窄带信号通过窄带系统
 - 随机过程的解析形式及其性质
- 3 窄带随机过程
 - 窄带随机过程的“垂直”分解
 - 窄带随机过程的统计分析
- 4 窄带高斯过程包络与相位的分布
 - 包络和相位各自的二维概率分布
 - 随相余弦信号与窄带高斯噪声之和的包络及相位的概率分布
- 5 窄带高斯过程包络平方的概率分布
 - 卡方分布和非中心卡方分布
 - 卡方分布的性质
- 6 窄带高斯过程包络平方的概率分布

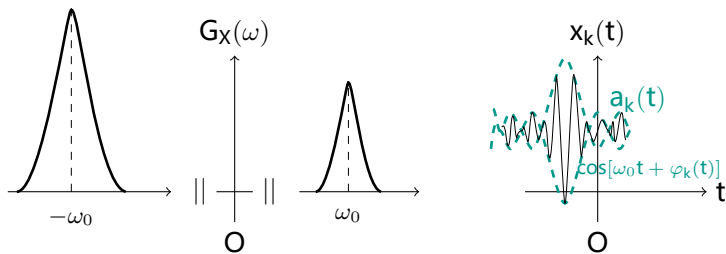
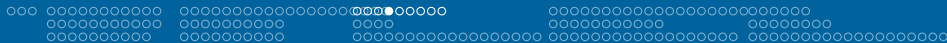


图 15: 窄带随机过程

由于 $a_k(t)$, $\varphi(t)$ 相对 $\cos \omega_0 t$ 来说是慢变化的时间函数, 所以 $A(t)$, $\Phi(t)$ 相对常数来说就是慢变化的随机过程。于是, 我们就可以把窄带随机过程看成是一个随机调幅和随机调相的准正弦振荡。